

9. かけ崩れの斜面上の位置

表-9.1.1 崩壊頭部の位置  
(昭和47年～平成11年)

位置	個 数	構成率(%)
上部	5,654	46.3
中部	4,203	34.4
下部	2,362	19.3
計	12,219	

表-9.1.2 崩壊頭部の位置  
(昭和47年～平成11年)  
(降雨によるもの)

位置	個 数	構成率(%)
上部	5,371	46.2
中部	4,009	34.5
下部	2,253	19.4
計	11,633	

表-9.1.3 崩壊頭部の位置  
(昭和47年～平成11年)  
(地震によるもの)

位置	個 数	構成率(%)
上部	93	67.4
中部	30	21.7
下部	15	10.9
計	138	

表-9.1.4 崩壊頭部の位置  
(昭和47年～平成11年)  
(融雪によるもの)

位置	個 数	構成率(%)
上部	83	47.2
中部	67	38.1
下部	26	14.8
計	176	

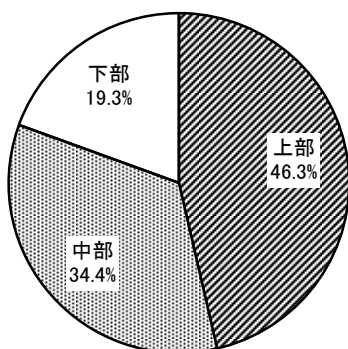


図-9.1.1 崩壊頭部の位置 (昭和47年～平成11年)

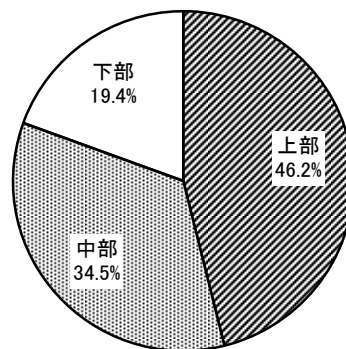


図-9.1.2 崩壊頭部の位置 (昭和47年～平成11年)  
(降雨によるもの)

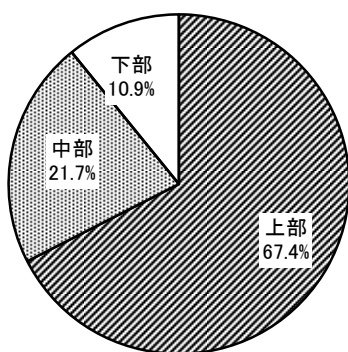


図-9.1.3 崩壊頭部の位置 (昭和47年～平成11年)  
(地震によるもの)

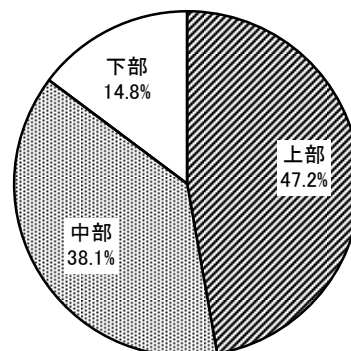


図-9.1.4 崩壊頭部の位置 (昭和47年～平成11年)  
(融雪によるもの)

表-9.2.1 地質区分毎、崩壊頭部高さ/斜面高さの関係

地質区分	崩壊頭部高さ/斜面高さ										計
	0~25 (%)		25~50 (%)		50~75 (%)		75~100 (%)		100% ~		
	個数	構成率(%) A 発生率 A/G	個数	構成率(%) B 発生率 B/G	個数	構成率(%) C 発生率 C/G	個数	構成率(%) D 発生率 D/G	個数	構成率(%) E 発生率 E/G	
噴出岩類	212	13.0 1.070	293	18.0 0.985	391	24.0 1.106	261	16.0 1.006	473	29.0 0.907	1,630
深成岩類	236	11.6 0.952	364	17.8 0.977	456	22.3 1.031	367	18.0 1.130	618	30.3 0.946	2,041
火山碎屑物	135	9.8 0.807	248	18.0 0.987	295	21.4 0.988	216	15.7 0.986	483	35.1 1.096	1,377
水成堆積岩類	498	13.4 1.104	747	20.1 1.103	815	22.0 1.013	558	15.0 0.945	1,093	29.5 0.920	3,711
変成岩類	149	19.6 1.611	155	20.4 1.116	176	23.1 1.067	113	14.8 0.933	168	22.1 0.690	761
その他	132	7.8 0.643	239	14.2 0.775	297	17.6 0.811	269	15.9 1.001	752	44.5 1.391	1,689
計 G	1,362	12.2	2,046	18.3	2,430	21.7	1,784	15.9	3,587	32.0	11,209

表-9.2.2 地質区分毎、崩壊頭部高さ/斜面高さの関係(降雨によるもの)

地質区分	崩壊頭部高さ/斜面高さ										計
	0~25 (%)		25~50 (%)		50~75 (%)		75~100 (%)		100% ~		
	個数	構成率(%) A 発生率 A/G	個数	構成率(%) B 発生率 B/G	個数	構成率(%) C 発生率 C/G	個数	構成率(%) D 発生率 D/G	個数	構成率(%) E 発生率 E/G	
噴出岩類	199	12.9 1.061	277	17.9 0.984	372	24.1 1.105	253	16.4 1.033	443	28.7 0.898	1,544
深成岩類	228	11.5 0.944	360	18.1 0.992	448	22.5 1.033	358	18.0 1.135	595	29.9 0.936	1,989
火山碎屑物	131	10.3 0.852	226	17.8 0.978	262	20.7 0.949	195	15.4 0.970	453	35.8 1.119	1,267
水成堆積岩類	469	13.3 1.098	705	20.0 1.099	785	22.3 1.024	525	14.9 0.941	1,033	29.4 0.919	3,517
変成岩類	140	19.1 1.571	149	20.3 1.113	171	23.3 1.069	108	14.7 0.928	166	22.6 0.708	734
その他	126	7.9 0.649	225	14.1 0.772	283	17.7 0.813	250	15.6 0.986	714	44.7 1.398	1,598
計 G	1,293	12.1	1,942	18.2	2,321	21.8	1,689	15.9	3,404	32.0	10,649

表-9.2.3 地質区分毎、崩壊頭部高さ/斜面高さの関係(地震によるもの)

地質区分	崩壊頭部高さ/斜面高さ										計
	0~25 (%)		25~50 (%)		50~75 (%)		75~100 (%)		100% ~		
	個数	構成率(%) A 発生率 A/G	個数	構成率(%) B 発生率 B/G	個数	構成率(%) C 発生率 C/G	個数	構成率(%) D 発生率 D/G	個数	構成率(%) E 発生率 E/G	
噴出岩類	1	6.3 1.070	2	12.5 1.427	5	31.3 1.946	3	18.8 1.117	5	31.3 0.595	16
深成岩類	3	11.1 1.903	0	0.0 0.000	2	7.4 0.461	1	3.7 0.221	21	77.8 1.480	27
火山碎屑物	3	8.6 1.468	2	5.7 0.652	12	34.3 2.135	7	20.0 1.191	11	31.4 0.598	35
水成堆積岩類	1	3.6 0.612	5	17.9 2.039	3	10.7 0.667	3	10.7 0.638	16	57.1 1.087	28
変成岩類	0	0.0 0.000	0	0.0 0.000	0	0.0 0.000	1	100.0 5.957	0	0.0 0.000	1
その他	0	0.0 0.000	3	10.0 1.142	0	0.0 0.000	8	26.7 1.588	19	63.3 1.205	30
計 G	8	5.8	12	8.8	22	16.1	23	16.8	72	52.6	137

表-9.2.4 地質区分毎、崩壊頭部高さ/斜面高さの関係(融雪によるもの)

地質区分	崩壊頭部高さ/斜面高さ										計
	0~25 (%)		25~50 (%)		50~75 (%)		75~100 (%)		100% ~		
	個数	構成率(%) A 発生率 A/G	個数	構成率(%) B 発生率 B/G	個数	構成率(%) C 発生率 C/G	個数	構成率(%) D 発生率 D/G	個数	構成率(%) E 発生率 E/G	
噴出岩類	2	8.3 1.188	6	25.0 1.155	7	29.2 1.348	1	4.2 0.223	8	33.3 1.075	24
深成岩類	2	25.0 3.563	1	12.5 0.578	3	37.5 1.733	1	12.5 0.668	1	12.5 0.403	8
火山碎屑物	0	0.0 0.000	9	21.4 0.990	12	28.6 1.320	7	16.7 0.891	14	33.3 1.075	42
水成堆積岩類	8	9.6 1.373	20	24.1 1.114	11	13.3 0.613	19	22.9 1.223	25	30.1 0.972	83
変成岩類	0	0.0 0.000	0	0.0 0.000	0	0.0 0.000	0	0.0 0.000	0	0.0 0.000	0
その他	0	0.0 0.000	1	7.1 0.330	4	28.6 1.320	4	28.6 1.527	5	35.7 1.152	14
計 G	12	7.0	37	21.6	37	21.6	32	18.7	53	31.0	171

表-9.3.1 斜面横断形毎の崩壊の高さ（昭和47年～平成11年）

崩壊の高さ (m)	尾根型		谷型		直線型	
	個数	割合い%	個数	割合い%	個数	割合い%
0～9	1,278	(46.3)	903	(35.6)	3,093	(49.1)
10～19	966	(35.0)	832	(32.8)	2,110	(33.5)
20～29	286	(10.4)	349	(13.7)	657	(10.4)
30～39	131	(4.7)	193	(7.6)	228	(3.6)
40～49	48	(1.7)	88	(3.5)	93	(1.5)
50～59	24	(0.9)	69	(2.7)	42	(0.7)
60～69	11	(0.4)	32	(1.3)	27	(0.4)
70～79	5	(0.2)	17	(0.7)	10	(0.2)
80～89	0	(0.0)	14	(0.6)	6	(0.1)
90～99	0	(0.0)	7	(0.3)	5	(0.1)
100～	12	(0.4)	35	(1.4)	25	(0.4)
計	2,761		2,539		6,296	

表-9.3.2 斜面横断形毎の崩壊の高さ（昭和47年～平成11年）（降雨によるもの）

崩壊の高さ (m)	尾根型		谷型		直線型	
	個数	割合い%	個数	割合い%	個数	割合い%
0～9	1230	(47.2)	869	(35.6)	2966	(49.5)
10～19	900	(34.6)	805	(33.0)	1992	(33.3)
20～29	261	(10.0)	333	(13.6)	617	(10.3)
30～39	121	(4.6)	189	(7.7)	218	(3.6)
40～49	44	(1.7)	82	(3.4)	85	(1.4)
50～59	21	(0.8)	64	(2.6)	42	(0.7)
60～69	11	(0.4)	31	(1.3)	25	(0.4)
70～79	4	(0.2)	16	(0.7)	10	(0.2)
80～89	0	(0.0)	14	(0.6)	6	(0.1)
90～99	0	(0.0)	6	(0.2)	4	(0.1)
100～	12	(0.5)	33	(1.4)	21	(0.4)
計	2,604		2,442		5,986	

表-9.3.3 斜面横断形毎の崩壊の高さ（昭和47年～平成11年）（地震によるもの）

崩壊の高さ (m)	尾根型		谷型		直線型	
	個数	割合い%	個数	割合い%	個数	割合い%
0～9	11	(21.6)	3	(16.7)	17	(27.4)
10～19	20	(39.2)	7	(38.9)	20	(32.3)
20～29	9	(17.6)	3	(16.7)	17	(27.4)
30～39	5	(9.8)	1	(5.6)	3	(4.8)
40～49	3	(5.9)	2	(11.1)	2	(3.2)
50～59	3	(5.9)	1	(5.6)	0	(0.0)
60～69	0	(0.0)	0	(0.0)	1	(1.6)
70～79	0	(0.0)	0	(0.0)	0	(0.0)
80～89	0	(0.0)	0	(0.0)	0	(0.0)
90～99	0	(0.0)	0	(0.0)	0	(0.0)
100～	0	(0.0)	1	(5.6)	2	(3.2)
計	51		18		62	

表-9.3.4 斜面横断形毎の崩壊の高さ（昭和47年～平成11年）（融雪によるもの）

崩壊の高さ (m)	尾根型		谷型		直線型	
	個数	割合い%	個数	割合い%	個数	割合い%
0～9	12	(30.0)	9	(30.0)	31	(31.3)
10～19	19	(47.5)	9	(30.0)	51	(51.5)
20～29	7	(17.5)	7	(23.3)	11	(11.1)
30～39	1	(2.5)	0	(0.0)	4	(4.0)
40～49	0	(0.0)	1	(3.3)	1	(1.0)
50～59	0	(0.0)	3	(10.0)	0	(0.0)
60～69	0	(0.0)	0	(0.0)	0	(0.0)
70～79	1	(2.5)	0	(0.0)	0	(0.0)
80～89	0	(0.0)	0	(0.0)	0	(0.0)
90～99	0	(0.0)	0	(0.0)	1	(1.0)
100～	0	(0.0)	1	(3.3)	0	(0.0)
計	40		30		99	

表-9.4.1 斜面横断形区分毎の崩壊位置（昭和47年～平成11年）

崩壊頭部の位置	斜面の横断形						計
	大尾根	小尾根	大谷	小谷	直線	その他	
上部	351 (40.7)	755 (40.0)	271 (46.6)	788 (40.4)	3,037 (48.4)	323 (64.9)	5,525
中部	331 (38.4)	709 (37.6)	214 (36.8)	740 (38.0)	2,082 (33.2)	109 (21.9)	4,185
下部	180 (20.9)	424 (22.5)	97 (16.7)	421 (21.6)	1,155 (18.4)	66 (13.3)	2,343
計	862	1,888	582	1,949	6,274	498	12,053

表-9.4.2 斜面横断形区分毎の崩壊位置（昭和47年～平成11年）（降雨によるもの）

崩壊頭部の位置	斜面の横断形						計
	大尾根	小尾根	大谷	小谷	直線	その他	
上部	325 (41.0)	719 (39.8)	264 (46.8)	752 (40.1)	2,889 (48.4)	295 (64.1)	5,244
中部	297 (37.5)	683 (37.8)	206 (36.5)	714 (38.1)	1,985 (33.2)	106 (23.0)	3,991
下部	171 (21.6)	403 (22.3)	94 (16.7)	407 (21.7)	1,100 (18.4)	59 (12.8)	2,234
計	793	1,805	564	1,873	5,974	460	11,469

表-9.4.3 斜面横断形区分毎の崩壊位置（昭和47年～平成11年）（地震によるもの）

崩壊頭部の位置	斜面の横断形						計
	大尾根	小尾根	大谷	小谷	直線	その他	
上部	10 (43.5)	14 (60.9)	3 (50.0)	7 (70.0)	41 (73.2)	17 (89.5)	92
中部	10 (43.5)	5 (21.7)	3 (50.0)	2 (20.0)	10 (17.9)	0 (0.0)	30
下部	3 (13.0)	4 (17.4)	0 (0.0)	1 (10.0)	5 (8.9)	2 (10.5)	15
計	23	23	6	10	56	19	137

表-9.4.4 斜面横断形区分毎の崩壊位置（昭和47年～平成11年）（融雪によるもの）

崩壊頭部の位置	斜面の横断形						計
	大尾根	小尾根	大谷	小谷	直線	その他	
上部	6 (46.2)	12 (44.4)	0 (0.0)	12 (48.0)	48 (49.0)	5 (62.5)	83
中部	6 (46.2)	11 (40.7)	4 (80.0)	10 (40.0)	34 (34.7)	2 (25.0)	67
下部	1 (7.7)	4 (14.8)	1 (20.0)	3 (12.0)	16 (16.3)	1 (12.5)	26
計	13	27	5	25	98	8	176

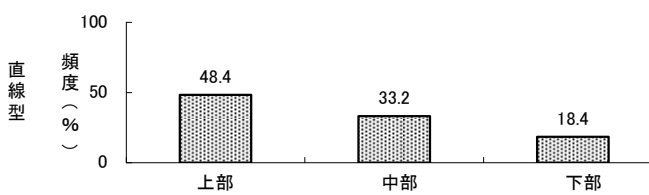
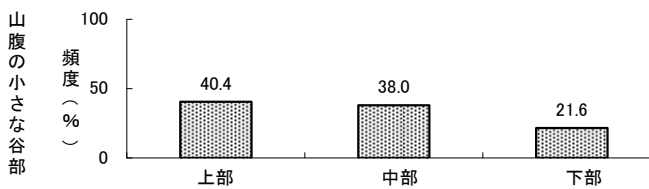
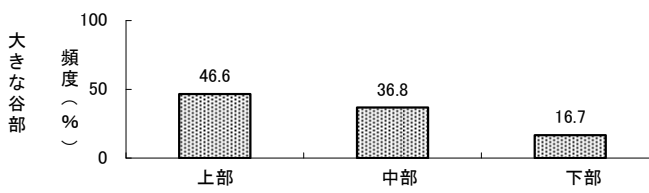
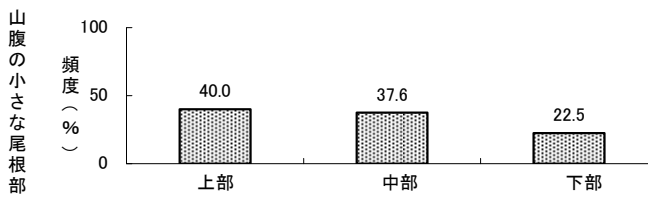
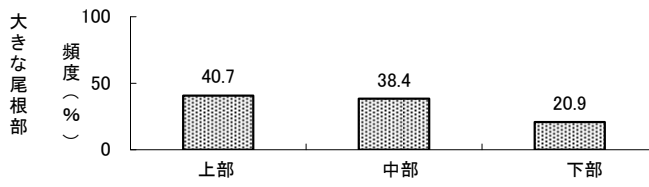


図-9.2.1 斜面横断形区分毎の崩壊位置 (昭和47年~平成11年)

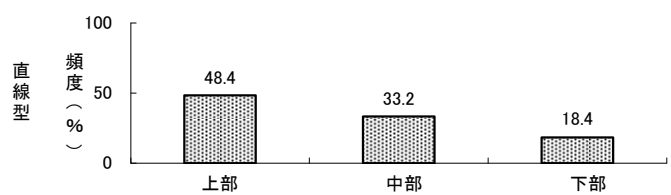
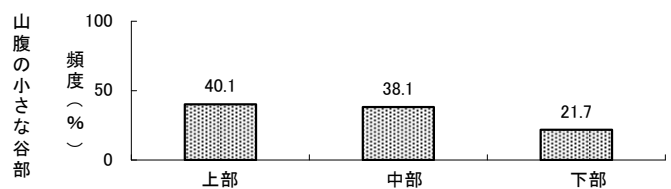
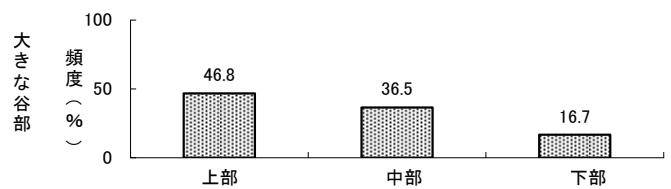
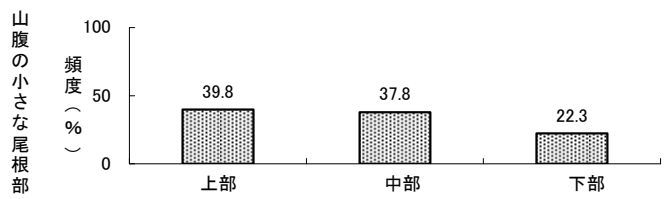
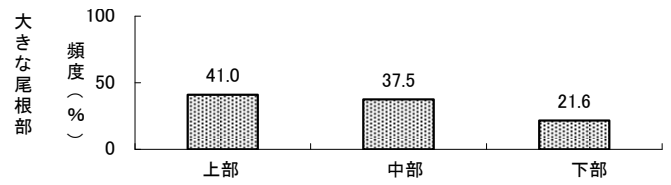


図-9.2.2 斜面横断形区分毎の崩壊位置 (昭和47年~平成11年)  
(降雨によるもの)

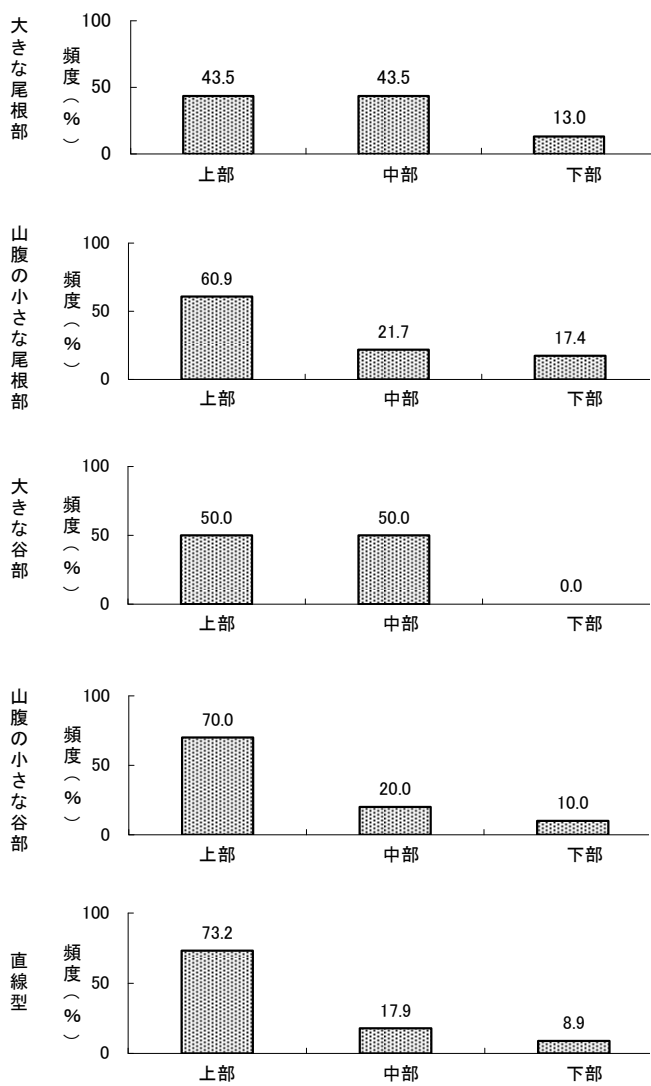


図-9.2.3 斜面横断形区分毎の崩壊位置 (昭和47年～平成11年)  
(地震によるもの)

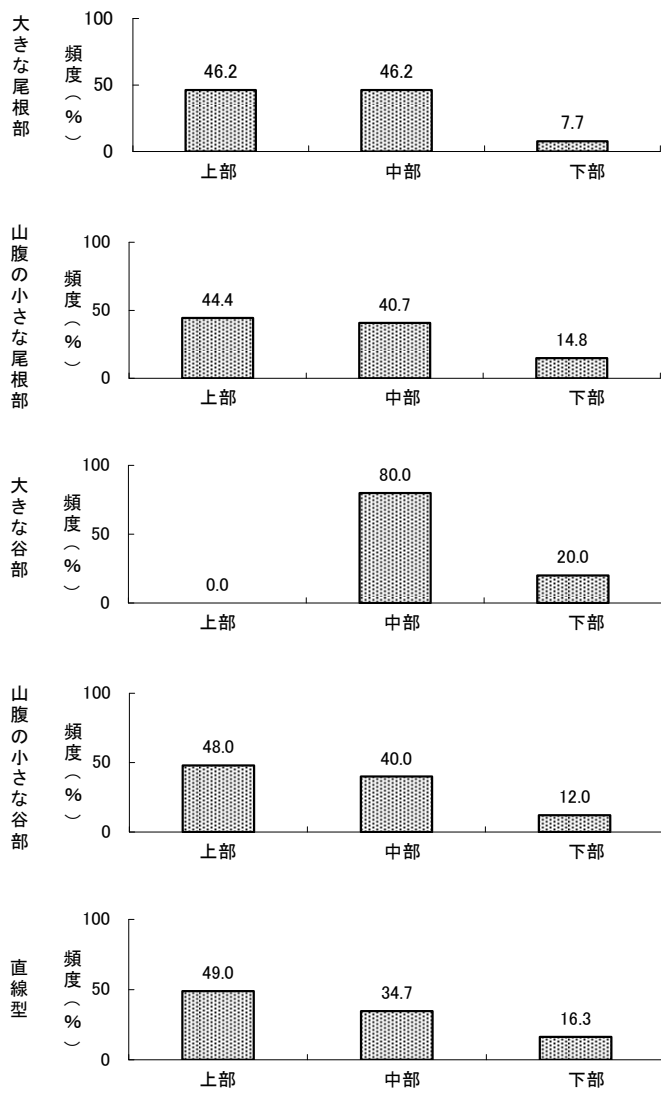


図-9.2.4 斜面横断形区分毎の崩壊位置 (昭和47年～平成11年)  
(融雪によるもの)